

ارزیابی خرابی پیشرونده در ساختمان‌های بتن مسلح دارای دیوار برشی با بازشو با لحاظ کردن موقعیت و مشخصات بازشوها

رحمت مدنودست^۱، رضا بهمنی^۲

۱- دانشیار دانشکده عمران دانشگاه گیلان

۲- دانشجوی کارشناسی ارشد سازه دانشگاه گیلان

rezabahmani.ce@gmail.com

چکیده

خرابی پیشرونده را می‌توان گسترش زنجیروار خرابی که با آسیب جزئی و موضعی در یک سازه در اثر خطرات طبیعی یا انسانی آغاز می‌شود، تعریف نمود. گسیختگی می‌تواند در حین رخداد زلزله‌های شدید به علت ضعف در طراحی یا اجرای سازه رخ دهد. عدم توانایی اعضای مجاور عضو آسیب دیده در بازتوزیع اضافه بار باعث می‌شود خرابی به صورت زنجیروار گسترش یابد تا این که به خرابی موضعی گستردگی یا کلی سازه منتج شود. استفاده از دیوارهای برشی در ساختمان‌ها به دلیل سختی و ظرفیت تحمل بالا موجب می‌شود که مقاومت ساختمان به طور قابل توجهی افزایش یابد. اما برخی محدودیت‌های معماری، تعییه بازشو در دیوارهای برشی را اجتناب ناپذیر می‌نماید که این امر بر رفتار دیوار برشی تاثیر می‌گذارد.

در این مقاله، رفتار سازه‌های بتن مسلح در برابر خرابی پیشرونده، با حذف ستون و دیوارهای برشی تحت بارهای ثقلی و لرزه‌ای بررسی می‌شود. دیوارها دارای بازشویی در موقعیت و ابعاد متفاوت می‌باشند. ساختمان‌های ۴، ۸ و ۱۲ طبقه با موقعیت و درصد بازشویی متفاوت پس از طراحی اولیه، در نرم افزار PERFORM-3D مدلسازی شده و تحلیل‌های استاتیکی غیرخطی و دینامیکی غیرخطی تاریخچه زمانی جهت بررسی عملکرد دیوارها در خرابی پیشرونده انجام شده است. نتایج تحلیل‌ها نشان می‌دهد که ایجاد بازشو در ابعاد و موقعیت مختلف بر روی عملکرد دیوار برشی تاثیر گذاشته و باعث ایجاد تغییر رفتار سازه در برابر تشکیل مفاصل و خرابی می‌گردد.

کلمات کلیدی: خرابی پیشرونده، سازه‌های بتن مسلح، دیوارهای برشی، بازشو

کد A

۱ - مقدمه

خرابی پیشرونده در کتابی که توسط موسسه ملی استاندارد و تکنولوژی آمریکا تدوین شده است به این صورت تعریف می‌گردد: «گسختگی پیشرونده، انتشار شکست‌های موضعی اولیه از عضوی به عضوی دیگر می‌باشد که سرانجام آن فرو ریزش کامل ساختمان یا فرو ریزش قسمت بزرگی از آن بوده به طوری که با خرابی اولیه نامناسب می‌باشد» [۱].

بطور کلی ساختمان‌ها برای شرایط بارگذاری با احتساب انفجارهای گاز، انفجارهای بمب، برخوردگاهی و سایل نقلیه، تصادف‌های هوایپیما، طوفان، گردباد و از این قبیل بارها طراحی نمی‌شوند. از این رو زمانی که ساختمان‌ها در معرض چنین بارهای غیرمعمولی قرار می‌گیرند، ممکن است متتحمل آسیب‌های بزرگی شوند. ساختمان‌ها باید طوری طراحی شوند که بتوانند خرابی موضعی را با یکارچه کردن اعضا سازه‌ای، بهبود بازپخش ارزشی و توزیع مجدد بارها (با ایجاد مسیرهای جایگزین انتقال بار) محدود نموده و در مقابله با بارهای غیرمعمول مقاومت کنند [۲].

توجه جامعه مهندسی در ابتدا بعد از انهدام بخشی از ساختمان رونان پوینت^۱ در لندن در سال ۱۹۶۸ به این موضوع معطوف شد و بعد از حادث ۱۱ سپتامبر ۲۰۰۱ مرکز تجارت جهانی^۲، چندین کمیته استانداردسازی جهت بهبود استانداردهای روش‌های طراحی در برابر خرابی پیشرونده شروع به کار کردند [۳].

جینکو کیم و تائوان کیم^۴ در سال ۲۰۰۸ به ارزیابی پتانسیل خرابی پیشرونده قاب‌های خمشی فولادی که بر اساس آین نامه طراحی سازه‌های فولادی کرده و به روش LRFD^۵ طراحی شده بودند، پرداختند. در این پژوهش مشاهده شد که پتانسیل خرابی پیشرونده هنگامی که ستون‌های گوشه سازه حذف شوند، افزایش می‌یابد. از طرف دیگر مشاهده شد که با افزایش تعداد طبقات پتانسیل خرابی پیشرونده در سازه کاهش می‌یابد. لازم به ذکر است که در این تحقیق کلیه اتصالات به صورت کاملاً صلب در نظر گرفته شد [۴].

ویبو و لاو^۶ در سال ۲۰۰۹ مروری کوتاه بر پدیده خرابی پیشرونده در سازه‌ها را ارائه کردند. روش‌ها و الزامات چندین استاندارد برای جلوگیری از خرابی پیشرونده بحث شد. محدودیت‌ها و مزایای روش‌های تحلیل در دسترس برای ارزیابی خرابی پیشرونده سازه‌ها خلاصه گردید. اهمیت تأثیر بار لرزه‌ای در رفتار خرابی پیشرونده سازه‌ها نیز بحث گردید. استنباط شد که خرابی پیشرونده لرزه‌ای سازه‌ها می‌تواند با اصلاح روش‌های جاری تحلیل گردد [۵].

هار تانتو ویبو و سیلونا رشو تکینا^۷ در سال ۲۰۰۹ با استفاده از روش APM^۸ خرابی پیشرونده در پل‌های بتی را در طول زلزله مدلسازی کردند. نتایج تأثیر قابل توجه پدیده خرابی پیشرونده در عملکرد پل‌ها در طول زلزله را نشان می‌دهد. همچنین نیاز بر در نظر گرفتن سازوکار خرابی پیشرونده در ارزیابی عملکرد لرزه‌ای سازه‌های جدید تاکید شده و اعلام گردید که پدیده خرابی پیشرونده می‌تواند در طول زلزله ایجاد گردد و محدود به بار ثقلی و انفجار نیست و روش APM^۸ می‌تواند رفتار خرابی پیشرونده پل‌ها را پیش بینی کند [۶].

خان محمدی و دادگر در سال ۲۰۱۲ در تحقیقی با استفاده از روش‌های تیر-ستونی اصلاح شده مبتنی بر رویکردهای ASCE^۹ و FEMA^{۱۰} نوع و میزان بازشدگی با نامنظمی متعارف در چیدمان بازشوها را بررسی کردند. از نتایج این تحقیق این بود که نزدیکتر کردن بازشوها به کتارهای دهانه دیوار تا حدی که رفتار اجزاء مرزی دیوار را تحت تأثیر قرار ندهد، می‌تواند رفتار دیوار را بهبود بخشد [۷].

زهراei و همکاران در سال ۲۰۱۶ پتانسیل خرابی پیشرونده در سازه‌های^{۱۱}،^{۱۲} و طبقه بتی را تحت بارهای لرزه‌ای مورد بررسی قرار دادند. نتایج حاکی از آن بود که حذف دیوار بر什ی از سازه باعث کاهش مقاومت سازه، کاهش ظرفیت سازه، افزایش جابجایی نسبی بام می‌شود و شدت پاسخ‌ها با افزایش تعداد طبقات کاهش می‌یابد. در واقع آسیب دیدگی دیوار بر什ی در سازه‌های کوتاه تأثیر خرابی پیشرونده را بیشتر افزایش می‌دهد [۸].

امروزه در ساختمان‌های بتی جهت مقابله با نیروهای جانبی و تأمین پایداری جانبی و سختی مناسب، استفاده از دیوار بر什ی امری الزامی است. از طرفی در برخی موارد به جهت ملاحظات معماري، تعییه بازشو در دیوار بر什ی اجتناب ناپذیر می‌باشد. سیستم‌های سازه‌ای دارای عملکرد مختلفی در سناریوی خرابی پیشرونده می‌باشند، بدین منظور در این پژوهش عملکرد ساختمان‌های بتی با دیوار برشی بازشودار تحت خرابی پیشرونده مورد بررسی قرار گرفته

1 - Ronan Point

2 - Word Trade Center

3 - Jinkoo Kim & Teawan Kim

4 - Load Resistance Factor Design

5 - Wibowo & Lau

6 - Hartanto Wibowo & Silvena Reshotkina

7 - Alternative Path Method

8 - American Society of Civil Engineers

9 - Federal Emergency Management Agency

است. این ارزیابی از طریق تحلیل های استاتیکی غیرخطی و دینامیکی غیرخطی تحت بارهای لرزه‌ای و با استفاده از نرم افزار PERFORM-3D در مدل‌های سه بعدی انجام شده است. نتایج استخراج شده از این تحلیل‌ها شامل تغییر مکان جانبی نسبی طبقات و نحوه‌ی تشکیل مفاصل خمیری اعضاء می‌باشد.

۲- مدل‌های مورد مطالعه

ساختمان‌های مورد مطالعه دارای پلانی به صورت تیپ در تمام طبقات دارای ۳ دهانه ۵ متری در هر دو جهت طولی و عرضی می‌باشند. در تمام مدل‌های سازه‌ای ارتفاع تمام طبقات یکسان و برابر ۳ متر می‌باشد. سازه‌های ساختمانی مورد نظر با کاربری مسکونی در منطقه‌ای با خاک نوع □ و شدت لرزه خیزی نسبی متوسط قرار گرفته‌اند. سیستم سازه‌ای از نوع دوگانه، قاب خمیشی بتن مسلح متوسط به همراه دیوار بررشی بتن مسلح متوسط می‌باشد. مدل‌هایی که در این تحقیق مورد بررسی قرار گرفته‌اند، سازه‌های بتی، ۸ و ۱۲ طبقه می‌باشند. مدل‌های ۴ طبقه شامل دیوار بررشی دارای بازشو به مساحت ۱۰ درصد سطح دیوار و مدل‌های ۸ و ۱۲ طبقه دارای بازشو به مساحت ۱۰ درصد سطح دیوار می‌باشند. بازشوهای در تمامی مدل‌ها به صورت میانی (Middle)، گوش (Corner) و یک در میان در گوشها (Stagger) جانمایی شده‌اند و در مجموع ۱۲ مدل بررسی شده است. در این تحقیق برای تعیین نیروهای زلزله از آین نامه ۲۸۰۰ ایران [۹]، برای طراحی سازه از مبحث ۹ مقررات ملی [۱۰]، برای تعیین مشخصات مفاصل خمیری از آین نامه ۳۵۶ FEMA [۱۱]، برای بارگذاری از مبحث ششم مقررات ملی [۱۲] و در نهایت برای بحث خوابی پیشونده از آین نامه GSA [۱۳] استفاده شده است.

سازه پس از طراحی اولیه در نرم افزار ETABS برای انجام تحلیل‌های غیرخطی در نرم افزار PERFORM-3D به صورت ۳ بعدی مدل‌سازی شده است. برای مدل‌سازی غیرخطی اجزاء سازه‌ای از مفاصل خمیری متمرکز استفاده شده است. برای مدل‌سازی غیرخطی دیوار بررشی ابتدا مواد بتی و فولادی با خصوصیات غیرخطی تعریف شده و سپس با استفاده از المان الیافی (Structure Fibers) مدل‌سازی شده‌اند.

جدول (۱) : مقاطع و میلگردات طولی مدل شده در سازه‌های ۴ طبقه

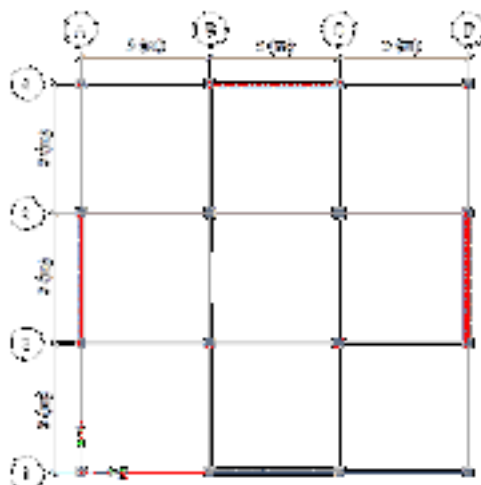
سازه‌های چهار طبقه			
آرماتور دیوار بررشی	قطعه تیر(cm)	قطعه ستون(cm)	طبقه
Φ۱۲ @ ۲۵	30×30 – 8Φ14	35×35 – 12Φ14	اول تا چهارم

جدول (۲) : مقاطع و میلگردات طولی مدل شده در سازه‌های ۸ طبقه

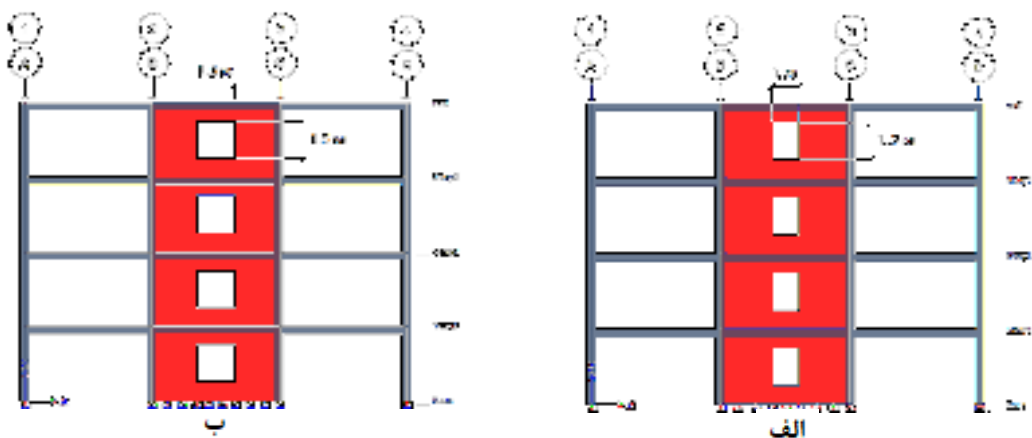
سازه‌های هشت طبقه			
آرماتور دیوار بررشی	قطعه تیر(cm)	قطعه ستون(cm)	طبقه
Φ۱۴ @ ۲۵	35×35 – 10Φ14	40×40 – 12Φ16	اول تا چهارم
Φ۱۲ @ ۲۵	30×30 – 10Φ14	35×35 – 12Φ14	پنجم تا هشتم

جدول (۳) : مقاطع و میلگردات طولی مدل شده در سازه‌های ۱۲ طبقه

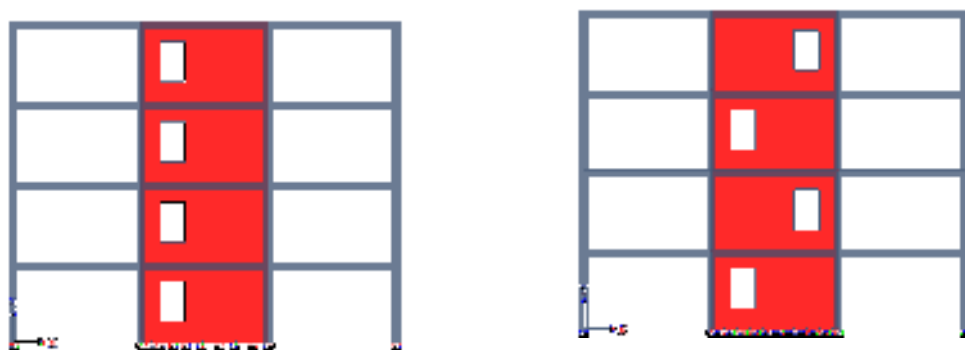
سازه‌های دوازده طبقه			
آرماتور دیوار بررشی	قطعه تیر(cm)	قطعه ستون(cm)	طبقه
Φ۱۶ @ ۲۵	40×40 – 12Φ14	45×45 – 12Φ18	اول تا چهارم
Φ۱۴ @ ۲۵	35×35 – 12Φ14	40×40 – 12Φ16	پنجم تا هشتم
Φ۱۲ @ ۲۵	30×30 – 12Φ14	35×35 – 12Φ14	نهم تا دوازدهم



شکل (۱) : پلان سازه‌های مدل شده



شکل (۲) : ابعاد بازشوهای ۱۰ درصد در سازه‌های ۸، ۱۲ و ۱۵ طبقه (الف) و بازشوهای ۱۵ درصد در سازه‌های ۴ طبقه (ب)



شکل (۳) : مدل Corner (گوش) یک در میان دو گوش (ستاره) شکل سمت راست و مدل Stagger (چپ) شکل سمت چپ

دیوارهای برشی واقع در محور شماره یک بازشودار می‌باشند. در شکل‌های (۲) و (۳) ابعاد و مشخصات بازشوهای به کار رفته در مدل‌ها مشخص می‌باشد. برای سازه‌های ۴ طبقه دو مدل ابعادی بازشو و برای سازه‌های ۸ و ۱۲ طبقه، یک مدل ابعادی بازشو در نظر گرفته شده است. ضخامت دیوارهای برشی بازشودار ۲۵ سانتیمتر و بدون بازشو ۲۰ سانتیمتر و فاصله بازشوها از لبه دیوار در تمامی مدل‌ها ۷۵ سانتیمتر می‌باشد.

-۳- روش تحقیق

برای ارزیابی پتانسیل خرابی پیشرونده از روش مسیر بار جایگزین استفاده شده است. بر اساس این روش یکی از اجزای سازه‌ای که دچار خرابی موضعی شده است از سازه حذف می‌شود و سازه بدون داشتن عضو آسیب دیده تحلیل می‌شود. پس از تحلیل بررسی می‌شود حذف این جزء در نحوه‌ی بازنمایی نیروها چه تاثیری دارد. ارزیابی‌ها از طریق تحلیل‌های استاتیکی غیرخطی و دینامیکی غیرخطی در مدل‌های سه بعدی تحت حالات با خرابی موضعی و بدون خرابی موضعی انجام شده است.

در این تحقیق پتانسیل خرابی پیشرونده در سازه با فرض آسیب دیدگی دیوار برشی و ستون‌ها بررسی شده است، به عبارت دیگر فرض شده است به محض وقوع زلزله، سازه یکی از اجزاء خود (به عنوان مثال دیوار برشی و یا ستون گوشه واقع در طبقه همکف) را از دست می‌دهد و بدون داشتن این عضو در معرض بار لرزه‌ای قرار می‌گیرد. سپس، تاثیر حذف عضو بر روی سازه‌ها مورد بررسی قرار می‌گیرد. جهت انجام این امر سازه‌های آسیب دیده تحت آنالیز دینامیکی غیرخطی تاریخچه زمانی شتاب نگاشتهای مقیاس شده زلزله‌های Northridge ۱۹۷۱، El Centro ۱۹۴۰ و Loma Prieta Gilroy station ۱

-۴- نتایج

در این بخش نتایج حاصل از تحلیل‌های استاتیکی غیرخطی و دینامیکی غیرخطی برای سازه‌های مذکور ارائه شده است. در این مرحله جهت مقایسه حالات با خرابی و بدون خرابی و انجام محاسبات خرابی پیشرونده، سازه‌های سالم تحت آنالیز استاتیکی غیرخطی براساس توصیه آین نامه FEMA ۳۵۶ قرار گرفتند. بارگذاری مورد استفاده جهت تحلیل بارگذاری یکنواخت می‌باشد. با توجه به منحنی ظرفیت ارائه شده نمونه‌ها در برنامه PERFORM-3D توسط روش ضرایب FEMA ۳۵۶ تغییر مکان هدف در یک روند سعی و خطما محاسبه شد.

پس از آن در این تغییر مکان نمودار ظرفیت سازه دو خطی شده و پارامترهای تسلیم و مقاومت نهایی (مقاومت نظری تغییر مکان هدف) از نمودار استخراج شده است. در ادامه با داشتن تغییر مکان‌های نهایی و تسلیم، شکل پذیری سازه با توجه به رابطه (۱) محاسبه شد.

با دو خطی کردن نمودار پریود موثر سازه (T_e) طبق رابطه (۲) به دست آمده و در نهایت R_{μ} با داشتن دو پارامتر شکل پذیری و پریود موثر سازه محاسبه شده است. به منظور محاسبه R_{μ} نیاز به پارامتر V_S (برش متناظر با اولین نقطه تسلیم) بوده است که با توجه به قابلیت برنامه در رسم نمودار در محدوده دلخواه، این برش استخراج شده و پس از آن پارامتر ضریب اضافه مقاومت محاسبه شد. در نهایت ضریب رفتار نمونه‌ها با ضرب R_{μ} در R_S به دست آمده است.

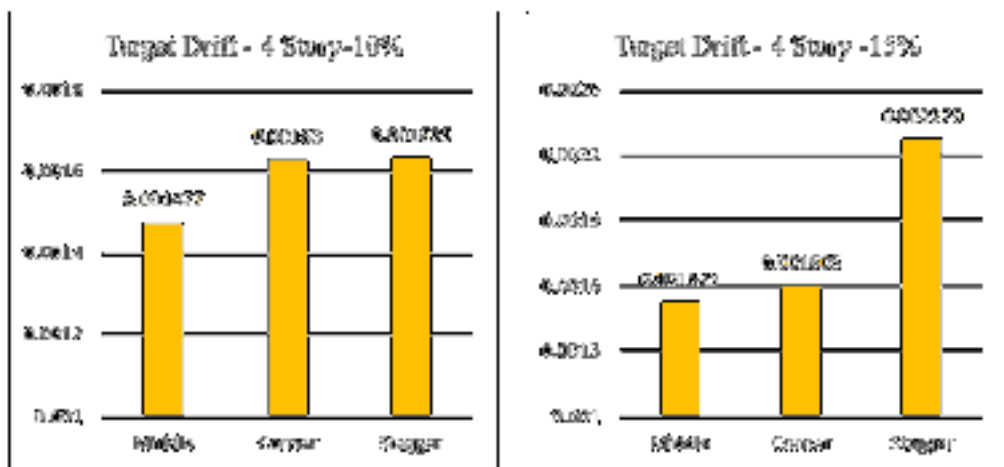
$$\mu = \frac{d_{\max}}{d_y} \quad (1)$$

که در آن μ ، d_{\max} و d_y به ترتیب شکل پذیری سازه، تغییر مکان‌های نهایی و تسلیم می‌باشند.

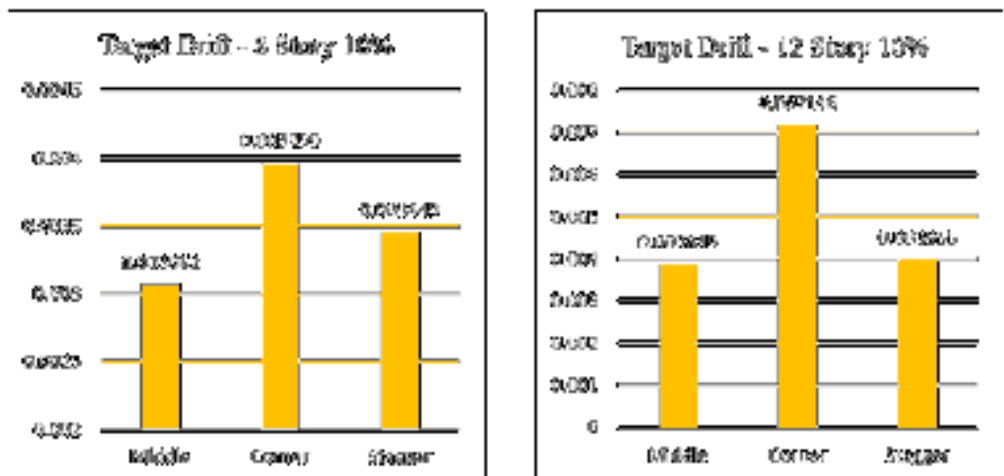
$$T_e = T_i \times \sqrt{\frac{k_i}{k_e}} \quad (2)$$

که در آن T_e پریود موثر سازه، T_i زمان تناوب اصلی، k_i سختی جانی سازه در حالت ارتجاعی و k_e سختی موثر می‌باشد.

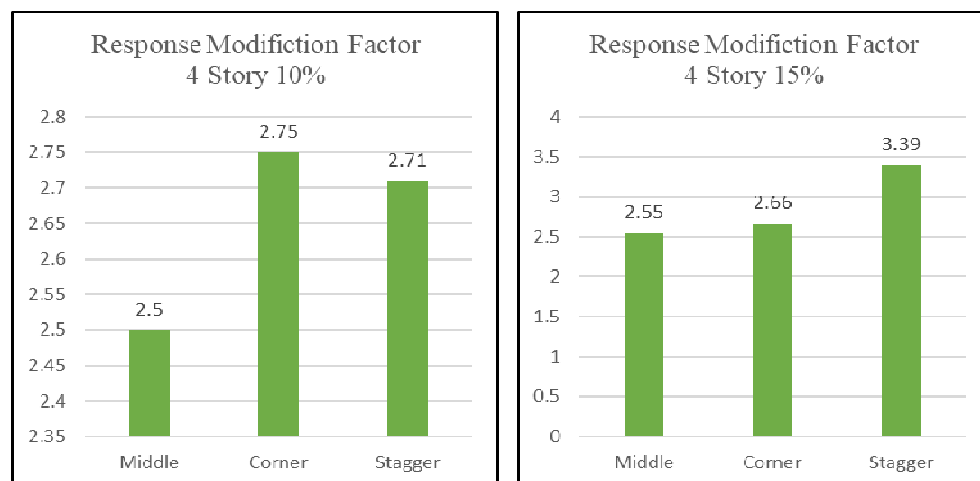
در شکل‌های (۴) و (۵) نمودارهای مقایسه‌ای نتایج تحلیل بار افزون جانی سازه‌ها در بارگذاری یکنواخت چپ به راست آورده شده است. همانطور که در نمودارهای مربوطه مشخص است، دیوارهایی که بازشویان آنها در گوش و یک در میان در گوش قرار گرفته‌اند، تغییر مکان‌های هدف بیشتری را تجربه کردند. در نمونه‌های چهار طبقه تعییه بازشویان ۱۵ درصد یک در میان در گوش باعث افزایش بیشتر تغییر مکان هدف گردیده است. در دیوارهای برشی با بازشوی غیر هم راست، به دلیل عدم تقارن و برابر نبودن مقطع بنن در پایه‌ها، رفتار دیوارها در جهت بحرانی تر دیوار در این بخش آورده شده است. در شکل‌های (۶) و (۷) نمودارهای مقایسه‌ای ضریب رفتار سازه‌ها در تمامی مدل‌ها نمایش داده شده است. همانطور که مشاهده می‌شود با جانمایی بازشویان در گوش، سازه‌ها شاهد افزایش ضریب رفتار هستند.



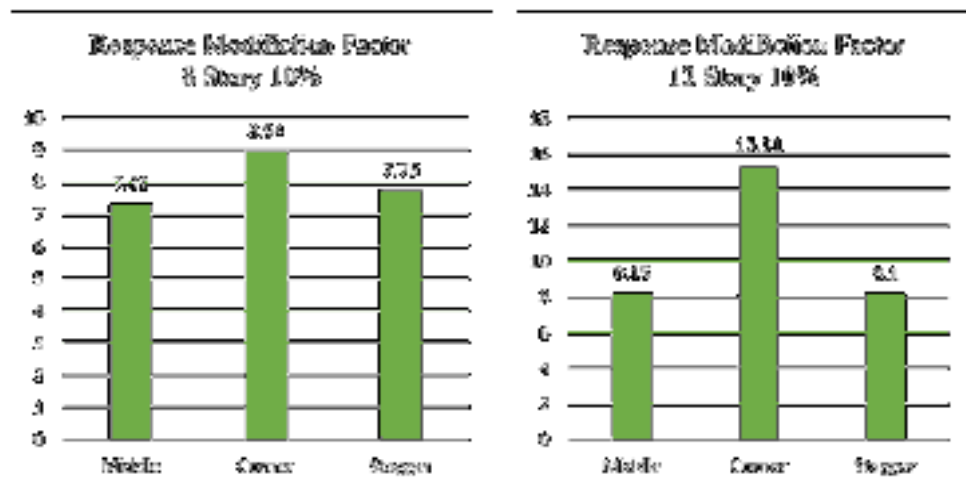
شکل (۴) : نمودار تغییر مکان هدف سازه‌های چهار طبقه



شکل (۵) : نمودار تغییر مکان هدف سازه‌های هشت و دوازده طبقه



شکل (۶) : ضریب رفتار سازه‌های ۴ طبقه

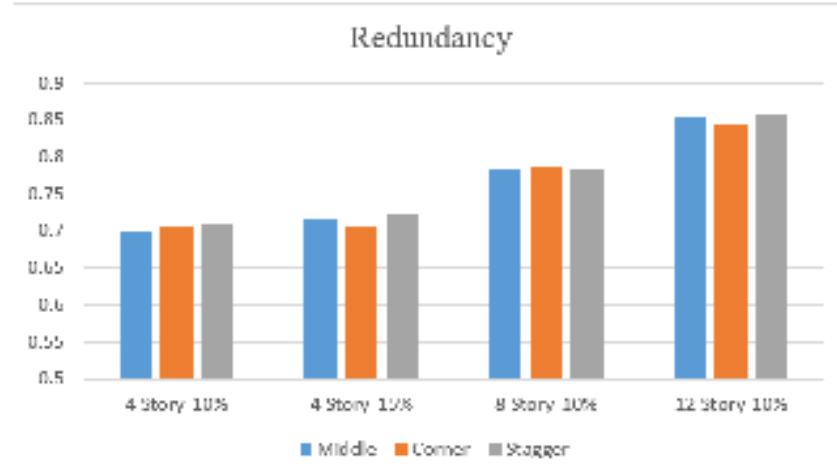


شکل (۲) : ضریب رفتار سازه‌های ۸ و ۱۲ طبقه

برای مقایسه‌ی این موضوع که افزایش یا کاهش طبقات چه تاثیری در سازه‌های مورد بحث دارد باید به سراغ شاخص تنومندی رفت. شاخص تنومندی به عنوان عدم حساسیت سازه به خرابی موضعی تعریف می‌شود. هرچه این شاخص به ۱ نزدیک‌تر باشد به این معناست که سازه در برابر خرابی پیشرونده مقاومتر است؛ و هر چقدر به صفر نزدیک‌تر باشد یعنی پتانسیل خرابی پیشرونده در سازه بیشتر است. بدین منظور با فرض آسیب دیدگی دیوار برشی طبقه اول به همراه ستون کناریش که در شکل (۸) مشخص شده است، سازه‌ها تحت تحلیل بار افزون قرار گرفتند و شاخص استواری نمونه‌ها محاسبه گردید. در این تحقیق برای ارزیابی شاخص استواری در سازه‌ها، از روش سختی استفاده شده است. در این روش، سختی سازه‌های سالم و آسیب دیده محاسبه شده و سپس با تقسیم سختی سازه‌ی آسیب دیده به سختی سازه‌ی سالم شاخص استواری سازه محاسبه می‌گردد. برای این منظور سازه‌ی سالم و سازه‌ی آسیب دیده، در معرض بار جانی و تحلیل بار افزون قرار می‌گیرد. در شکل (۹) نمودار مقایسه‌ای شاخص استواری سازه‌ها آورده شده است. همانطور که در شکل مربوطه مشخص است، با افزایش تعداد طبقات شاخص استواری افزایش یافته و سازه‌ها در برابر خرابی موضعی مقاوم‌تر می‌شوند. نمونه‌های بازشو یک در میان در گوشه در اغلب سازه‌ها عملکرد نسبتاً بهتری داشته‌اند.

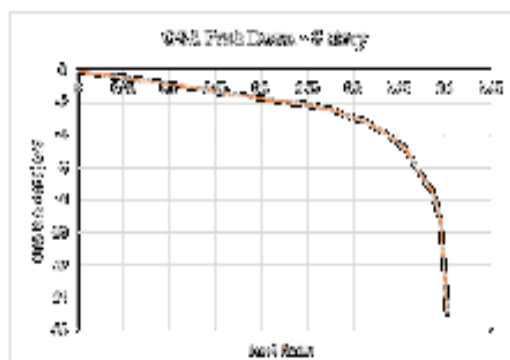


شکل (۸) : مدل خرابی دیوار برشی طبقه اول به همراه ستون کناریش

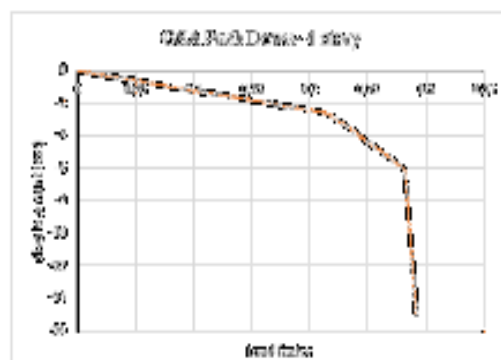


شکل (۹) : شاخص استواری در سازه‌های بررسی شده

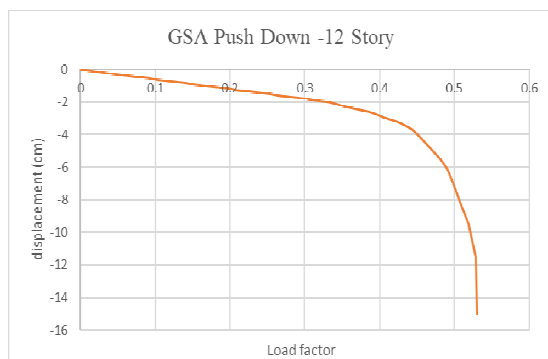
در این قسمت مقاومت خرابی پیشرونده در روش تحلیل بار افزون عمودی استاتیکی غیرخطی، با ضریب بار متناظر با جابجایی قائم محل حذف ستون در هر مرحله که روش جابجایی - کنترل می‌باشد، بیان شده است. بر اساس آیین نامه GSA در تحلیل استاتیکی غیرخطی بار افزون پس از حذف عضو مورد نظر، بار ثقلی در دهانه آسیب دیده در ضرب ۲ ضرب می‌شود و سپس سازه تحت بار ثقلی یا جانبی تحلیل می‌شود. با توجه به شکل‌های (۱۰)، (۱۱) و (۱۲) می‌توان مشاهده کرد که افزایش تعداد طبقات، باعث افزایش ضریب بار و در نتیجه افزایش مقاومت سازه در برابر خرابی پیشرونده در موقعیت حذف ستون گوشه می‌شود.



شکل (۱۱) : منحنی بار افزون عمودی سازه ۸ طبقه

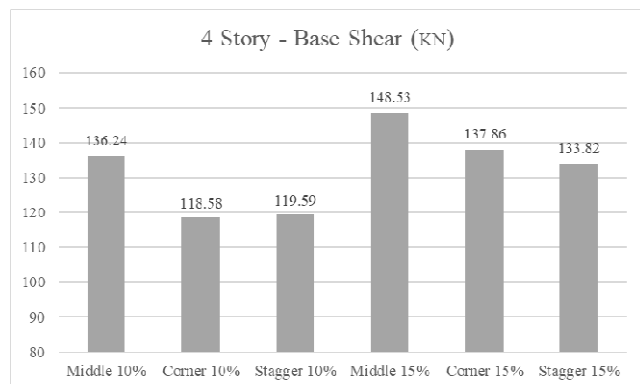


شکل (۱۰) : منحنی بار افزون عمودی سازه ۴ طبقه



شکل (۱۲) : منحنی بار افزون عمودی سازه ۱۲ طبقه

در شکل (۱۳) نمودار مقایسه‌ای برش حداکثر حاصل از آتالیز دینامیکی غیرخطی تاریخچه زمانی وارد بر ستون‌های طبقه اول تحت شتاب نگاشت نورثیج در سازه‌های پیش از خرابی ارائه شده است. همانطور که مشخص است با جانمایی بازشوها در گوش، سازه‌ها شاهد کاهش نیروی وارد در سازه‌های چهار طبقه هستند.

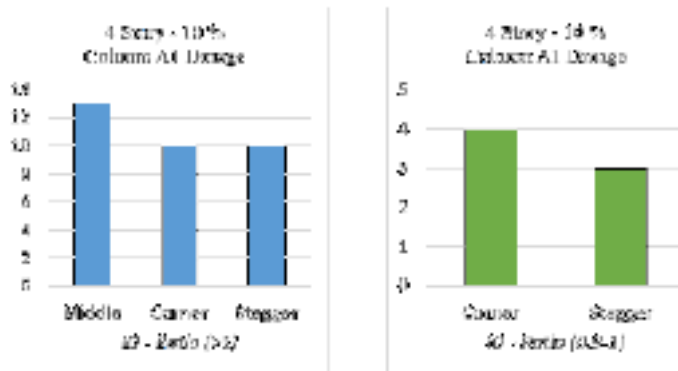


شکل (۱۳) : برش حداکثر حاصل از آتالیز دینامیکی غیرخطی تاریخچه زمانی

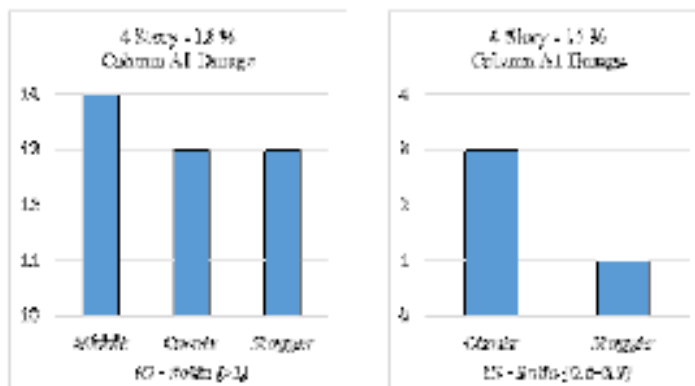
در بحث خرابی سازه‌ها طبق تحقیقات گذشتگان ستون‌های گوش (بیرونی) بیشترین پتانسیل آسیب پذیری را دارند. لذا در این قسمت با فرض خرابی این ستون‌ها (مطابق شکل (۱۴)، سازه‌ها را تحت زلزله لوما پریتا مورد ارزیابی قرار داده و نتایج آن در شکل‌های (۱۵) و (۱۶) آورده شده‌اند. همانطور که مشخص است نمونه‌های با بازشو واقع در گوش و یک در میان در گوش از نمونه‌های با بازشو واقع در وسط دیوار عملکرد بهتری داشته و همچنین نمونه‌های یک در میان در گوش وضعیت بهتری نسبت به نمونه‌های با بازشو واقع در گوش دیوار دارند.



شکل (۱۴) : خرابی ستون گوش طبقه اول A1



شکل (۱۵) : نمودار مقایسه تعداد مفاصل تشکیل شده در اثر خرابی ستون کناری سازه های ۴ طبقه با بازشو ۱۰ درصد

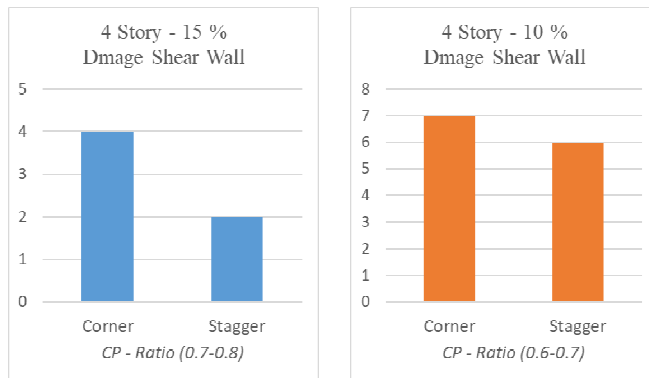


شکل (۱۶) : نمودار مقایسه تعداد مفاصل تشکیل شده در اثر خرابی ستون کناری سازه های ۴ طبقه با بازشو ۱۵ درصد

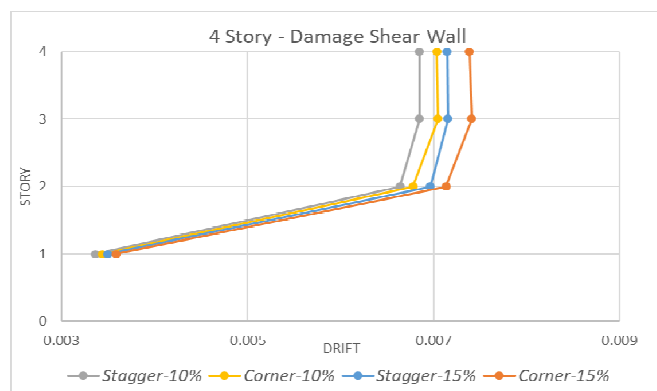
جهت ارزیابی عملکرد سازه های چهار طبقه با بازشوهای مشابه که پتانسیل خرابی بیشتری را نسبت به سازه های ۸ و ۱۲ دارند، با فرض خرابی دیوار برشی طبقه اول مطابق شکل (۱۷) این سازه ها تحت زلزله نورثیچ قرار گرفتند و مفاصل تشکیل شده این سازه ها در نمودار مقایسه ای شکل (۱۸) و حد اکثر تغییر مکان جانبی نسبی طبقات این سازه ها در شکل (۱۹) نمایش داده شده است. همانطور که مشاهده می شود نمونه های با بازشوهای یک در میان در گوشه عملکرد بهتری داشتند.



شکل (۱۷) : خرابی دیوار برشی طبقه اول



شکل (۱۸) : نمودار مقایسه تعداد مفاصل تشکیل شده در اثر خرابی دیوار برشی سازه های ۴ طبقه



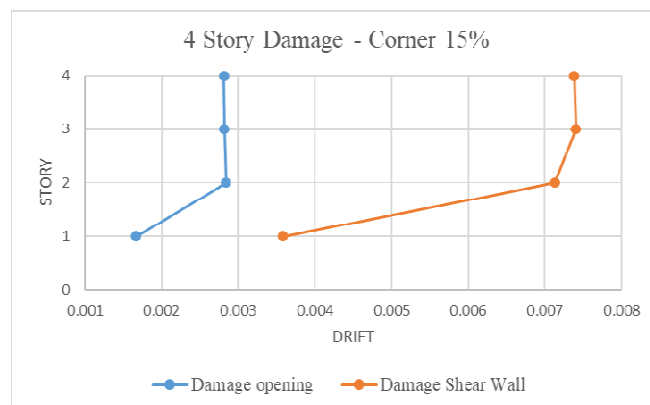
شکل (۱۹) : مقایسه حداکثر تغییر مکان جانبی نسبی طبقات در اثر خرابی دیوار برشی سازه‌های ۴ طبقه

به منظور مقایسه محل بحرانی خرابی دیوار برشی در طبقه اول، دو نمونه از خرابی‌های دیوار برشی در این بخش مقایسه شده‌اند. در نمونه‌های انتخابی مساحت خرابی برابر می‌باشد. از آنجا که اجزاء مرزی به منظور افزایش مقاومت و شکل پذیری دیوارهای برشی در لبه دیوار تعییه می‌شوند و نقش مهمی در عملکرد دیوار برشی دارند. طبق شکل (۲۲) حالت خرابی در گوشه بحرانی تر می‌باشد.



شکل (۲۱) : خرابی دیوار برشی در محل بازشو

شکل (۲۰) : خرابی دیوار برشی در گوش



شکل (۲۲) : حداکثر تغییر مکان نسبی طبقات در اثر خرابی دیوار برشی در محل گوشی دیوار و در محل بازشو

۵- نتیجه گیری

در این تحقیق به ارزیابی دیوارهای برشی بازشودار در ساختمان‌های بتن مسلح و در نظر گرفتن خرابی پیشرونده در این سازه‌ها پرداخته شده است. برای این منظور ابتدا با استفاده از نرم افزار ETABS مدل‌های ساختمانی طراحی و سپس در نرم افزار PERFORM-3D مدل‌های سه بعدی شبیه سازی شدند و تحت تحلیل‌های استاتیکی غیرخطی و دینامیکی غیرخطی مورد ارزیابی قرار گرفتند. متغیرهای مورد بررسی به ترتیب شامل تعداد طبقات ساختمان (۴، ۸ و ۱۲ طبقه)، موقعیت بازشو (مرکزی، گوش و یک در میان در گوش) و درصد بازشودی دیوار (۱۰ و ۱۵ درصد برای سازه‌های ۴ طبقه و ۱۰ درصد برای سازه‌های ۸ و ۱۲ طبقه) بودند، در ادامه نتایج حاصل ارائه می‌گردد.

۱- نتایج نشان می‌دهد، نزدیکتر کردن بازشوها به کناره‌های دهانه رفتار دیوار را بهبود بخشد. به عبارت دیگر اعمال بازشو در کناره‌ها باعث افزایش ضربی رفتار و استهلاک بیشتر انرژی نسبت به موقعیت دیگر بازشوها در سازه می‌گردد.

۲- در تحلیل دینامیکی غیرخطی تحت بار لرزه‌ای در سازه‌های ۴ طبقه مشخص شد که اعمال بازشو در کناره‌ها باعث کاهش مفاصل خمیری، کمتر شدن نیروی برشی بر پایه سازه‌ها و همچنین کاهش جابجایی نسبی طبقات می‌گردد. در ضمن نمونه‌های یک در میان وضعیت بهتری از نمونه‌های گوشه تحت حالات با خرابی موضعی در خرابی پیشرونده و بدون خرابی موضعی در سازه‌ها داشتند.

۳- در بحث خرابی پیشرونده، ضربی بار به دست آمده از تحلیل استاتیکی غیرخطی بار افزون عمودی، افزایش تعداد طبقات ساختمان باعث افزایش مقاومت سازه‌ها در برابر خرابی پیشرونده تحت بارهای نقلی می‌شود. همچنین در حذف ستون گوشه تفاوتی میان نتایج نمونه‌ها با موقعیت بازشوهای مختلف بوجود نیامد.

۴- با افزایش تعداد طبقات در نمونه‌های مورد بررسی، شاخص استواری که به عنوان عدم حساسیت سازه به خرابی موضعی تعریف می‌شود، افزایش یافته که نشان دهنده مقاوم‌تر شدن سازه‌ها در برابر خرابی موضعی می‌باشد.

۵- با توجه نتایج به دست آمده از برش پایه و جابجایی‌ها و مفاصل تشکیل شده می‌توان گفت، افزایش ابعاد بازشوها باعث عملکرد نامطلوب‌تر سازه می‌گردد.

۶- توجه به نتایج به دست آمده از تحلیل‌ها، گسیختگی دیوار برشی در محل گوشه دیوار و در محل اجزاء مرزی باعث افزایش مفاصل و جابجایی نسبی طبقات شده که نتایج بحرانی تری نسبت به وقوع گسیختگی در محل وسط دیوار دارد.

۶- مراجع

- [۱] Ellingwood, B. R., Smilowitz, R., Dusenberry, D. O., Duthinh, D., Lew, H. S., & Carino, N. J. (۲۰۰۷). "Best practices for reducing the potential for progressive collapse in buildings" (No. NIST Interagency/Internal Report (NISTIR)-۷۳۹۶).
- [۲] Lew, H. S. (۲۰۰۳). "Best practices guidelines for mitigation of building progressive collapse". National Institute of Standards and Technology, Gaithersburg, Maryland, USA, ۴۸۹۹-۸۶۱۱.
- [۳] Menchel, K. (۲۰۰۹). "Progressive collapse: comparison of main standards, formulation and validation of new computational procedures". Universite Libre de Bruxelles, Faculte des Sciences Appliquees, Ph. D. Thesis.
- [۴] Kim, J., & Kim, T. (۲۰۰۹). "Assessment of progressive collapse-resisting capacity of steel moment frames". Journal of Constructional Steel Research, ۶۵(۱), ۱۶۹-۱۷۹.
- [۵] Wibowo, H., & Lau, D. T. (۲۰۰۹). "Seismic progressive collapse: qualitative point of view". Civil Engineering Dimension, ۱۱(۱), ۸-۱۴.
- [۶] Wibowo, H., Reshotkina, S., & Lau, D. (۲۰۰۹, May). "Modelling progressive collapse of RC bridges during earthquakes". In CSCE annual general conference (pp. ۱-۱۱).
- [۷] خان محمدی، م، دادگر، آ. (۱۳۹۱). "بررسی دقیق روش‌های تحلیل جاری در مدل‌سازی دیوار برشی بتی با بازشو". نهمین کنگره بین‌المللی مهندسی عمران، اصفهان، دانشگاه صنعتی اصفهان.

- [۸] زهرائی، س.م.، خیرالدین، ع.، صفا خواه، س.، ثقفی، م.ح. (۱۳۹۵). "ارزیابی سناریوی خرابی پیشونده در ساختمان‌های بتن مسلح دارای دیوار برشی با استفاده از تحلیل دینامیکی غیر خطی". دومین کنفرانس ملی مهندسی عمران، معماری و توسعه شهری.
- [۹] آین نامه طراحی ساختمان‌ها در برابر زلزله، استاندارد ۲۸۰۰، ویرایش چهارم، تهران، مرکز تحقیقات مسکن.
- [۱۰] مبحث نهم مقررات ملی ساختمان. دفتر تدوین و ترویج مقررات ملی ساختمان، ویرایش چهارم، نشر توسعه ایران، تهران.
- [۱۱] سازمان مدیریت و برنامه‌ریزی، دستورالعمل بهسازی لرزه‌ای ساختمان‌های موجود (نشریه شماره ۳۶۰) ویرایش ۹۲.
- [۱۲] مبحث ششم مقررات ملی ساختمان. دفتر تدوین و ترویج مقررات ملی ساختمان، ویرایش سوم، نشر توسعه ایران، تهران.
- [۱۳] GSA., (۲۰۰۳). "Progressive collapse analysis and design guidelines for new federal office buildings and major modernization projects". The US General Services Administration.



یازدهمین کنفرانس ملی بتن

۱۴، ۱۵، ۱۶ مهرماه ۱۳۹۸

مرکز تحقیقات راه، مسکن و شهرسازی



Evaluation of progressive collapse in reinforced concrete shear walls buildings with openings by concerning the position and characteristic of openings

Madandoust Rahmat¹, Bahmani Reza^{2*}

1-Associate Professor, Civil Engineering Department, University of Guilan

2-Student of Structural Engineering, University of Guilan

rezabahmani.ce@gmail.com

Abstract

Progressive collapse can be defined by the chain wise development of a failure that begins with partial and local damage in a structure due to natural or human hazards. Rupture can be occurring during severe earthquake events due to a bad design or a bad execution of the structure. The inability of the adjacent members of the one which is damaged, to redistribute the overload, causes the failure to occur chain wisely, leading to a failure in the overall or general position of the structure. Adopting shear walls in buildings, due to the hardness and high bearing capacity, makes the building's strength considerably higher. However, some architectural constraints make it unavoidable to provide openings in shear walls, which affects the overall behavior.

In this paper, the behavior of reinforced concrete structures is investigated against progressive collapse by removing the column and shear walls under gravity and seismic loads. The walls are open in different positions and dimensions. 4, 8 and 12-story buildings with different position and percentage of openings after initial design, modeled in PERFORM-3D software and non-linear static analysis and nonlinear dynamics of time histories have been performed to examine the performance of the walls in progressive collapse issue. The results of the analysis show that creating an opening in different dimensions and position affects the performance of the shear wall and causes changes in the structure's behavior against the formation of hinges and failure.

Keywords: progressive collapse, concrete buildings, shear walls, opening

Code A